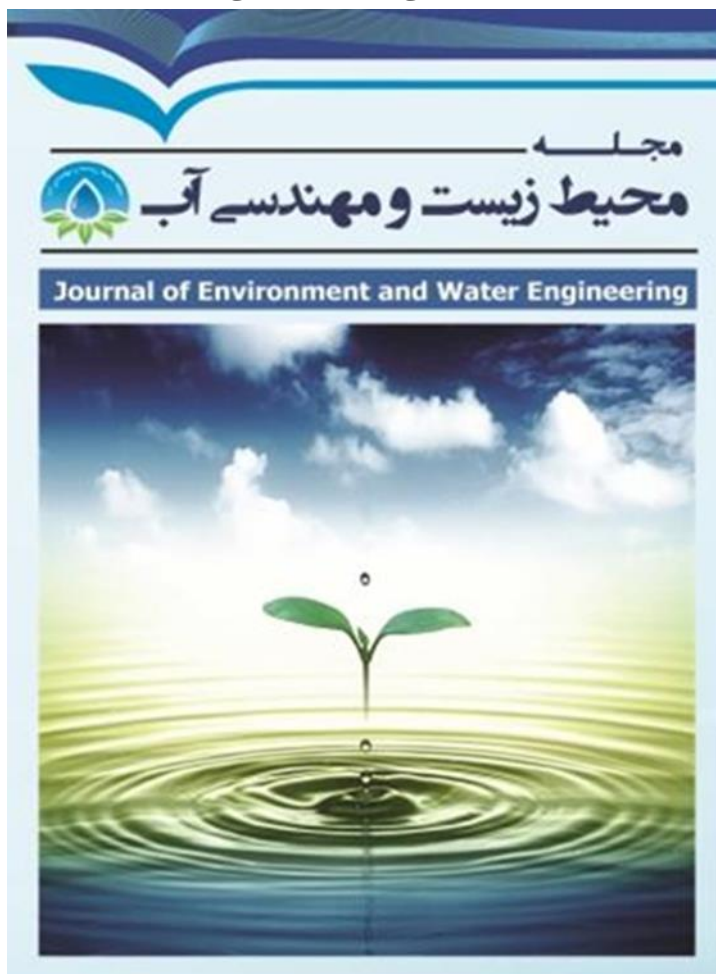


حذف یون فلزی نیکل (II) از محلول‌های آبی به‌وسیله جاذب نانو ساختار

ZnCl₂ اصلاح‌شده با نمک فلزی MCM-41

فؤاد راجی و أسماء رحیمی



دوره ۱، شماره ۱، زمستان ۱۳۹۴، صفحات: ۱-۱۷

www.jewe.ir

نحوه ارجاع به این مقاله: راجی ف. و رحیمی ا. (۱۳۹۴). حذف یون فلزی نیکل (II) از محلول‌های آبی به‌وسیله جاذب نانو ساختار MCM-41 اصلاح شده با نمک فلزی ZnCl₂. محیط‌زیست و مهندسی آب، جلد ۱، شماره ۱، صفحات: ۱-۱۷.

How to cite this paper: Raji F. and Rahimi A. (2015). Ni(II) Removal from Aqueous Solutions using Nanostructured Sorbent MCM-41 Modified by ZnCl₂. J. Environ. Water Eng. 1(1), 1-17.

حذف یون فلزی نیکل (II) از محلول‌های آبی به‌وسیله جاذب نانو ساختار

ZnCl₂ اصلاح‌شده با نمک فلزی MCM-41

فؤاد راجی^{۱*} و أسماء رحيمي^۲

۱- گروه مهندسی شیمی، دانشکده فنی، دانشگاه فردوسی مشهد، مشهد، ایران

۲- گروه مهندسی شیمی، دانشکده فنی، دانشگاه کردستان، سنندج، ایران

*نویسنده مسئول: Foad.raji@gmail.com

تاریخ پذیرش: [۱۳۹۴/۰۶/۱۶]

تاریخ دریافت: [۹۴/۰۳/۲۴]

چکیده

سنتز جاذب MCM-41 به روش هیدروترمال در حضور اتانول به عنوان حلال و ماده فعال سطحی کمکی و در محیط قلیابی انجام پذیرفت. جاذب معدنی ZnCl₂-MCM-41 به روش پیوند کووالانسی با توزیع مواد در حلال تولئن و از اندرکنش بین ذره‌های ZnCl₂ با گروه‌های سیلانول روی دیواره‌حفره‌های MCM-41 تهیه شد. تعیین مشخصات این جاذب با استفاده از آزمایش‌های جذب نیتروژن، XRD، طیف‌سنجی FTIR و SEM انجام شد. سطح‌فعال MCM-41 بر اساس معادله BET برابر با $10.99 \text{ m}^2/\text{g}$ به دست آمد که پس از تثبیت ذره‌های ZnCl₂ روی سطح MCM-41 این مقدار به $60.2 \text{ m}^2/\text{g}$ کاهش یافت. اثر پارامترهای دما، pH، زمان تماس و غلظت اولیه یون نیکل (II) بر روی میزان جذب یون نیکل (II) بررسی گردید. ایزوترم جذب لانگ‌مویر بهتر از ایزوترم فرون‌دلیچ رفتار داده‌های تجربی را پیش‌بینی نمود که نشان‌دهنده جذب تک لایه و همگن یون نیکل (II) روی جاذب معدنی سنتز شده است. در شرایط بهینه، بیشترین ظرفیت جذب یون نیکل (II) با استفاده از ایزوترم جذب لانگ‌مویر 30.3 mg/g به دست آمد. بررسی سینتیک فرآیند نشان داد که مدل شبه مرتبه دوم جذب یون نیکل (II) روی جاذب ZnCl₂-MCM-41 را بهتر از مدل شبه مرتبه اول پیش‌بینی می‌کند. ایزوترم دوبینین رادوشکوویچ انرژی آزاد فرایند برابر $9/8 \text{ kJ/mol}$ به دست آمد که بیانگر شیمیابی بودن مکانیسم جذب یون نیکل (II) روی جاذب سنتز شده است.

واژه‌های کلیدی: MCM-41، جذب سطحی، ZnCl₂، یون نیکل (II)، ایزوترم

۱- مقدمه

کم‌آبی یکی از بزرگ‌ترین دغدغه‌های بشر در قرن بیست و یکم است. بسیاری از کشورهای جهان با مشکل دست‌یابی به آب آشامیدنی سالم روبرو هستند. تخمین زده شده که تا سال ۲۰۲۵ نزدیک به ۲/۷ میلیارد از مردم جهان با مشکل کمبود آب روبرو خواهند شد (Pereira et al. 2009). در دهه گذشته ورود آلاینده‌های صنعتی مانند فلزات سنگین به داخل محیط‌های آبی، به مقدار زیادی افزایش یافته است که به عنوان یک خطر جدی برای حیات محیط‌های آبی به شمار می‌آیند (Kadirvelu et al. 2004 و Viraraghava et al. 1998). بیشترین فلزات سنگین موجود در سیستم‌های آبی، Zn, Pb, Hg, Cd, Cu می‌باشند. این عناصر در غلظت‌های بیش از حد مجاز، برای ارگانیسم‌ها، سمی می‌باشند. نیکل یکی از فلزات سنگین بوده که معمولاً در پساب‌ها وجود دارد (Basso et al. 2002). نمک‌های نیکل معمولاً در ورق کاری فلزات به کار می‌روند و غلظت آن در پساب‌های صنعتی در محدوده mg/L ۳/۴۰-۹۰۰ است. حداکثر غلظت مجاز نیکل برای آب آشامیدنی $5.0 mg/L$ تعیین شده است (Maibach and Menné, 1989). صنایع مختلفی از قبیل تصفیه‌خانه‌های نقره، (الکترووانیاشت)، ریخته‌گری بر پایه روی، صنایع باتری‌سازی و غیره مقادیر قابل توجهی از نیکل را در فرم‌های مختلف آن همراه با پساب خود وارد محیط‌زیست می‌کنند (Hasar, 2003). شدت سمی بودن نیکل برای انسان و محیط‌زیست به خوبی شناسایی شده و قرار گرفتن در معرض غلظت‌های زیاد نیکل می‌تواند منجر به بروز سرطان‌های ریه و استخوان گردد (Al-Rub et al. 2004). برای حذف فلزات سنگین از منابع آبی و پساب‌ها روش‌های گوناگونی از قبیل جذب سطحی، تبادل یونی، اسمز معکوس، فرایندهای غشایی، الکترو دیالیز، رسوب‌دهی، احیا الکتروشیمیایی و غیره به کار گرفته شده است (Pérez-Quintanilla et al. 2007). از بین روش‌های ذکر شده، جذب سطحی به دلیل سهولت انجام، هزینه عملیاتی پایین و ظرفیت جذب بالا بهویژه در غلظت‌های پایین فلز سنگین بسیار مورد توجه قرار گرفته است. بیوپلیمرها، رزین‌های تبادل گر یون، کربن‌های فعل شده، اکسید فلزات، زئولیت‌های طبیعی و گیاهان دریایی از جمله موادی هستند که در روش جذب سطحی برای حذف فلزات سنگین از محیط آبی استفاده شده‌اند (Kula et al. 2008). در بین این جاذب‌ها، مواد مزوپور سیلیکاتی به دلیل سطح آزاد زیاد، ساختار منظم و یکنواخت حفرات و اندازه بزرگ حفرات‌شان بسیار مورد توجه قرار گرفته‌اند (Raji et al. 2015) مزوپور سیلیکاتی MCM-41 که نام آن برگرفته شده از (Mobil Composition of MatterNo. 41) است، یکی از اعضای خانواده مزوپورهای سیلیکاتی (خانواده M41S) است که در سال ۱۹۹۲ میلادی بهوسیله محققان شرکت موبیل (mobil) آمریکا کشف شد. در بین مواد مزوپور بسیاری که وجود MCM-41 یکی از پرکاربردترین آن‌ها است، زیرا ساختار آن ساده بوده، مسدود شدن حفرات آن ناچیز است و سنتز آن به راحتی و از طریق مکانیزم قالب‌گیری بلورهای در فاز مایع امکان‌پذیر است. بر جسته‌ترین ویژگی‌های MCM-41 عبارت از شکل مشخص حفرات، توزیع باریک اندازه حفرات، قابل تغییر بودن اندازه حفرات (بین $2-10 nm$ ، حجم زیاد حفرات و سطح آزاد بسیار بالا هستند (Selvam et al. 2001). MCM-41 معمولاً به‌تهاجی ظرفیت جذب خوبی برای حذف فلزات سنگین ندارد و به همین دلیل سطح آن را بهوسیله گروههای عاملی آلی یا نمک‌های فلزی اصلاح می‌کنند تا ظرفیت جذب آن را افزایش دهند (Raji et al. 2015). در اکثر مطالعات در زمینه حذف فلزات سنگین از محیط‌های آبی برای اصلاح سطح MCM-41 از گروههای آلی نظری تیول (Puanngam and Unob, 2009)، آمین (Delacôte et al. 2009)، پیریدین (Zhai et al. 2012) و مرکاپتوپروپیل (Idris et al. 2011) استفاده شده است. برخلاف مطالعات اشاره شده، در این پژوهش سعی بر این شد که از یک عامل معدنی برای اصلاح سطح MCM-41 استفاده گردد. با توجه به اینکه نمک روی کلرید ($ZnCl_2$) یکی از رایج‌ترین موادی است که به عنوان ماده فعال کننده سطح در تهیه کربن‌های فعال به کار می‌رود و ظرفیت جذب این مواد را به میزان قابل توجهی افزایش می‌دهد (Bailey et al. 1999)، تصمیم بر این گرفته شد تا برای حذف یون نیکل (II) از محلول‌های آبی، از مزوپور سیلیکاتی (MCM-41) که سطح آن بهوسیله نمک $ZnCl_2$ اصلاح شده استفاده گردد. درواقع پیش از انجام این مطالعه، از همین جاذب یعنی MCM-41 در حذف یون‌های جیوه (II) (Raji et al. 2015) و سرب (II) از محلول‌های آبی استفاده گردید و نتایج بسیار قابل قبولی به دست آمد (Raji et al. 2013). بنابراین با توجه به نتایج دو پژوهش قبل، انتظار می‌رود که جاذب $ZnCl_2\text{-MCM-41}$ ظرفیت جذب بالایی در حذف یون نیکل (II) از محلول‌های آبی از خود نشان دهد.

۲- مواد و روش‌ها

۲-۱- سنتز MCM-41

برای سنتز MCM-41 از روش گرون (Grün et al. 1997) استفاده گردید. $2/5\text{ g}$ از ستیل تری متیل آمونیم بروماید (CTAB) در 50 g از آبشاری از یون حل شده و به مدت 15 min روی همزن مغناطیسی با شدت 300 rpm قرار داده شد تا بهطور کامل در آب حل شود. سپس، 60 g اتانول بهعنوان حلال و $پسازان ۱۳/۲\text{ g}$ آمونیم هیدروکسید بهعنوان کاتالیست به محلول بالا اضافه شد. نهایت، $4/7\text{ g}$ از تتراتیل اورتوسیلیکات (TEOS) بهصورت قطره‌قطره به محلول افزوده گردید تا ژل شیری‌رنگی با نسبت مولی $TEOS:CTAB:EtOH:NH_3:H_2O = 1:0/144:11:58:3$ باشد. درنهایت محلول را در دمای اتاق به مدت 24 h قرار مخلوط به مدت 2 h با شدت 300 rpm و در دمای 35°C به هم زده شد. درنهایت محلول را در دمای اتاق به مدت 24 h قرار داده تا خشک گردد. پس از این مدت محلول را با مقدارهای زیاد از آب مقطر و اتانول چندین بار شستشو داده تا مواد واکنش نداده بهدست آمده خارج گرددن. ژل را به همراه کمی از مایع مادر آن به داخل ظرف تفلونی منتقل نموده و آن را داخل اتوکلاو قرار داده و به مدت 96 h در دمای 130°C تحت شرایط هیدرورتمال در آون حرارت داده شد. ژل حاصل را مجدداً صاف نموده و شستشو داده و به مدت 24 h در دمای 70°C در داخل آون قرار داده تا خشک گردد. پودر حاصل را داخل بوته چینی ریخته و در داخل کوره از دمای اتاق تا 55°C با نرخ حرارتی یک حرارت داده و به مدت 5 h نیز در این دمای نگهداری شود تا مواد آلی موجود در حفرات آن بهطور کامل حذف گرددن. پس از عملیات کلسینه نمودن پودر حاصل Cal-MCM-41 نامیده می‌شود.

۲-۲- سنتز ZnCl₂-MCM-41

ثبت MCM-41 روی ZnCl₂ بر اساس روش لیو (Liu et al. 2005) و به روش غیرمستقیم با انحلال مواد در حلال تولوئن انجام شد. بدین منظور 1 g MCM-41 کلسینه شده را به 50 ml تولوئن خالص افزوده و سپس $0/545\text{ g}$ ZnCl₂ به ظرف حاوی مخلوط بالا افزوده و به مدت 4 h در دمای اتاق با شدت 300 rpm به هم زده شد. پس از هم زدن، مخلوط را صاف نموده و با 100 ml تولوئن شستشو داده و سپس با 100 ml آب عاری از یون آن را شستشو داده تا ذره‌های ZnCl₂ واکنش نداده در آن حل شده که با اندازه‌گیری مقدار آن‌ها بهوسیله اسپکتروفوتومتر جذب اتمی (Shimadzu AA-670) میزان ثبت ذره‌های ZnCl₂ روی MCM-41 به دست آید. پس از شستشو با آب عاری از یون، ژل را در دمای 110°C و به مدت 24 h خشک نموده تا ZnCl₂-MCM-41 حاصل گردد.

۳-۲- تعیین مشخصات جاذب

XRD با استفاده از دستگاه Philips Analytical X-Ray B.V. با آند مس ($\lambda = 1/540.56\text{\AA}$) و با زاویه 2θ بین $2-90^\circ$ انجام شد. آزمون جذب نیتروژن در دمای 77 K بهوسیله دستگاه Micrometrics ASAP 2010 analyzer انجام پذیرفت. نمونه‌ها در دمای 572 K به مدت 5 ساعت گاز زدایی (degassing) شدند. آنالیز FTIR بهوسیله دستگاه Shimadzu4300 و با روش استاندار KBr در محدوده $4000-4000\text{ cm}^{-1}$ انجام شد. آزمون میکروسکوپ الکترونی روبشی (SEM) بهوسیله دستگاه KYKY-EM3200 Digital Scanning Electron Micro-scope) برای تعیین شکل و توزیع ذرات جاذب انجام شد.

۴-۱- تهییه محلول‌ها و طراحی آزمایش‌ها

محلول $1/0\text{ مولار}$ Ni(II) را از انحلال نمک $\text{Ni}(\text{NO}_3)_2$ در آب دیونیزه تهییه نموده و با رقیق سازی این محلول مادر، محلول‌هایی با غلظت‌های $۱، ۵، ۱۰، ۲۰، ۵۰، ۱۰۰$ و ۲۰۰ ppm تهییه گردید. برای انجام آزمایش‌ها مقدار 10 mg از جاذب MCM-41 در 30 ml محلول مورد نظر ریخته شده و در شرایط مشخصی از نظر pH، دما و زمان بر روی

همزن مغناطیسی با شدت ۳۰۰ rpm قرار داده می‌شد. پس از انجام آزمایش‌ها، میزان جذب به روش اسپکتروفتومتری جذب اتمی تعیین گردید. مقدار Ni(II) جذب شده بهوسیله جاذب از رابطه (۱) محاسبه گردید:

$$q_e = \frac{(C_0 - C_e)V}{m} \quad (1)$$

میزان جذب تعادلی (q_e)، C_0 (mg/g) و C_e (mg/g) به ترتیب غلظت اولیه و غلظت تعادلی نیکل (L)، حجم محلول (L) و مقدار جاذب استفاده شده (g) است. اثر پارامترهای pH (در محدوده ۲-۱۰)، دما (۲۰-۵۰ °C)، زمان (۱-۶۰ min) و غلظت اولیه یون نیکل (II) در محلول (۲۰۰ ppm) در مورد مطالعه قرار گرفت.

در صد حذف نیکل از محلول اولیه از رابطه (۲) محاسبه گردید:

$$\text{Removal(\%)} = \frac{(C_0 - C_e)}{C_0} \times 100 \quad (2)$$

۳- یافته‌ها و بحث

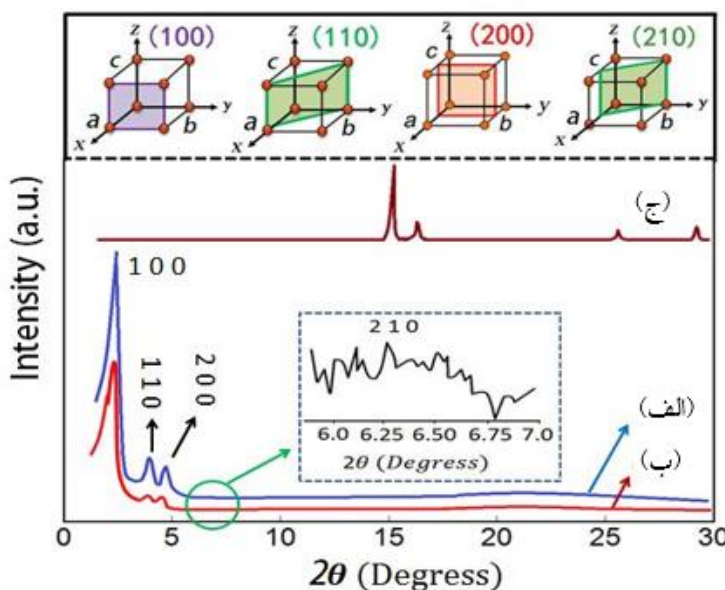
۳-۱- تعیین مشخصات جاذب

۳-۱-۱- پراش پرتوایکس (XRD)

الگوی XRD نمونه‌های MCM-41 خالص، ZnCl₂-MCM-41 و ZnCl₂ خالص در محدوده θ بین ۰-۳۰ درجه در شکل (۱) نشان داده شده است. به دست آمدن یک پیک شدید (۱۰۰) و سه پیک ضعیف (۱۱۰)، (۲۰۰) و (۲۱۰) در θ ۲/۳۳، ۳/۹۹، ۴/۵۹ و ۶/۳۰ که مقدار d-spacing آن‌ها به ترتیب برابر با ۳۷/۸۹، ۲۲/۱۳، ۱۹/۲۳ و ۱۴/۰۱ است، بیانگر ششوجهی بودن ساختار مزوپور سیلیکاتی سنتر شده است (Idris et al. 2011). پارامتر واحد شبکه "a" با توجه به معادله (۳) برابر با ۴۳/۷۵ Å به دست آمده است.

$$a = \frac{2}{\sqrt{3}} d_{100} \quad (3)$$

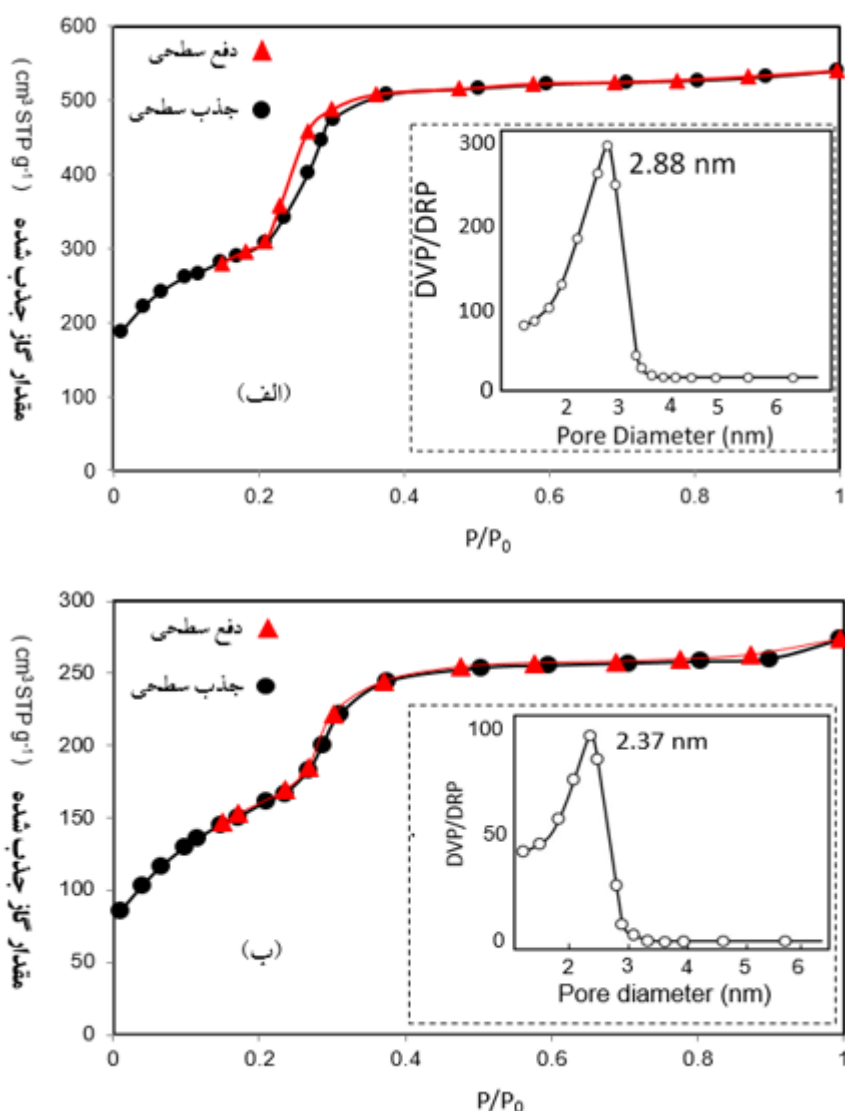
در مورد MCM-41، تغییر مهمی در موقعیت پیک‌ها نسبت به MCM-41 مشاهده نشده است. این امر بیان گر این است که اصلاح سطح MCM-41 بهوسیله ZnCl₂ منجر به تغییر در ساختار ششوجهی MCM-41 نگردیده است؛ بنابراین، چون موقعیت پیک‌ها برای ZnCl₂-MCM-41 تغییر محسوسی نداشته است، پس مقدارهای 2θ به دست آمده برای MCM-41 در مورد ZnCl₂-MCM-41 نیز صادق هستند. با توجه به این‌که d-spacing مستقیماً به 2θ بستگی دارد، پس مقدارهای d-spacing برای ZnCl₂-MCM-41 نیز تقریباً همان مقدارهای مربوط به MCM-41 خواهد بود. به عبارتی دیگر، ZnCl₂-MCM-41 نیز یک ماده مزوساختار است. کاهش محسوس شدن پیک‌ها در مورد ZnCl₂-MCM-41 مربوط به حضور به اتصال ذره‌های ZnCl₂ در ساختار مزوپور MCM-41 است. در زاویه‌های بزرگ‌تر، هیچ اوج شاخصی از ZnCl₂-MCM-41 مشاهده نشده که این مسئله می‌تواند نشان‌گر توزیع به طور کامل یکنواخت ذره‌های ZnCl₂ روی سطح حفرات MCM-41 باشد. افزایش پهنای پیک و کاهش شدن پیک در مورد ZnCl₂-MCM-41 نسبت به MCM-41 کاهش تقارن ششوجهی ساختار را نشان می‌دهد (Wu et al. 2008). کاهش شدید شدن پیک (۱۰۰) را می‌توان به اتصال ذره‌های ZnCl₂ داخل حفرات MCM-41 نسبت داد (et al. 2006 Pérez-Quintanilla).



شکل ۱-الگوی XRD نمونه‌های: (الف) MCM-41؛ (ب) ZnCl₂؛ (ج) خالص ZnCl₂-MCM-41

۳-۱-۲-ایزو ترم‌های جذب-دفع نیتروژن

ایزو ترم‌های جذب نیتروژن برای MCM-41 و ZnCl₂-MCM-41 به ترتیب در شکل ۲-(الف و ب) نشان داده شده است. ایزو ترم به دست آمده برای نمونه MCM-41، همان نوع IV ایزو ترم‌های تعریف شده IUPAC است که نشان می‌دهد ماده سنتز شده مزوپور بوده و خواص MCM-41 را دارد. در فشارهای نسبی (P/P₀) کم، افزایش خطی در حجم نیتروژن جذب شده را می‌توان دید که این افزایش حجم در گستره فشار نسبی بین ۰/۲۲-۰/۳۰ درجه بسیار شدید است. این افزایش شدید در حجم جذب‌شونده، مربوط به پدیده چگالش حفره‌ای در داخل حفرات مزوپور MCM-41 است. برای MCM-41 چگالش حفره‌ای با پدیده هیسترسیس (hysteresis) همراه بوده است. در دمای ۷۷K، ایزو ترم‌های جذب نیتروژن برای نمونه‌های MCM-41 با اندازه حفره کوچکتر از ۴/۲ nm بروگشت‌پذیر است (Ravikovitch et al. 1998). سطح صاف نمودار در فشارهای نسبی بالا نشان‌دهنده این است که برای فشارهای نسبی بزرگ‌تر از ۰/۴، میزان پر شدن حفرات به وسیله نیتروژن بسیار کم است. برای ZnCl₂-MCM-41 نیز همانند MCM-41، ایزو ترم به دست آمده از نوع IV است. برای این نمونه در محدوده فشار نسبی بین ۰/۲۴-۰/۳۶ چگالش حفره‌ای رخداده در حالی که در کل مقدارهای فشار نسبی هیچ حلقه هیسترسیسی مشاهده نشده است. این امر می‌تواند ناشی از توزیع یکنواخت ذره‌های ZnCl₂ درون حفرات MCM-41 باشد (Ravikovitch et al. 1998). خواص فیزیکی حاصل از ایزو ترم جذب نیتروژن برای MCM-41 و ZnCl₂-MCM-41 در جدول (۱) آورده شده است. با توجه به جدول (۱)، سطح آزاد، حجم حفره و اندازه (قطر) حفره برای ZnCl₂-MCM-41 کمتر از MCM-41 است. لذا می‌توان نتیجه گرفت که پس از اصلاح سطح با ذره‌های ZnCl₂ این ذره‌ها وارد حفرات شده و با اشغال حفرات و مسدود کردن آن‌ها، مانع از ورود مولکول‌های نیتروژن شده‌اند.



شکل ۲- ایزو ترم‌های جذب نیتروژن و توزیع اندازه حفره BJH برای: (الف) MCM-41 و (ب) ZnCl₂-MCM-41

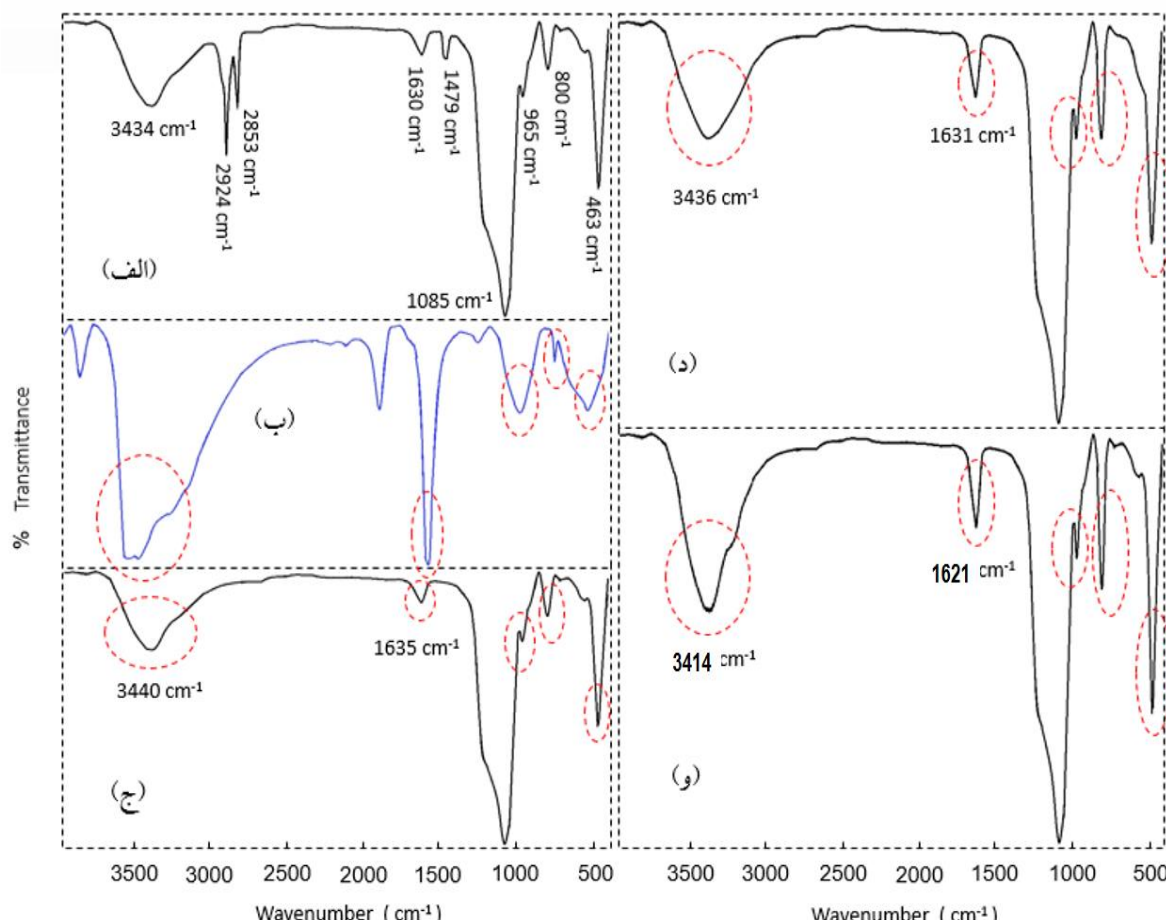
جدول ۱- مشخصات ساختاری نمونه‌های MCM-41 و ZnCl₂-MCM-41

ضخامت دیواره	$d_{\text{avg.}}$ (nm)	d_{BJH} (nm)	V_p (cm^3/g)	S_{BET} (m^2/g)	نمونه‌ها
۱/۴۹۵	۲/۰۳	۲/۸۸	۰/۸۲	۱۰۹۹	MCM-41
۱/۹۸۵	۲/۸۱	۲/۳۷	۰/۴۶	۶۰۲	ZnCl ₂ -MCM-41

۳-۱-۳- طیف‌سنجی FT-IR

طیف IR نمونه‌های MCM-41 کلسینه شده و کلسینه نشده، ZnCl₂ و ZnCl₂-MCM-41 خالص در محدوده ۴۰۰۰-۴۰۰ cm^{-1} به ترتیب مربوط به حالت‌های کششی و خمی مولکول‌های آب جذب شده روی جاذب هستند. باندهای ۲۹۲۴ و ۲۸۵۳ cm^{-1} نیز به ترتیب به حالت کششی گروه‌های $\text{vCH}(-\text{CH}_2-\text{CH}_3)$ و $\text{vCH}(-\text{CH}_2-\text{CH}_3)$ مربوط هستند. باند موجود در ۱۴۷۹ cm^{-1} حالت خمی گروه‌های $\delta\text{CH}(-\text{CH}_2-)$ و $\delta\text{CH}(-\text{CH}_3)$ را نشان می‌دهد (Khalil et al. 2007). باندهای

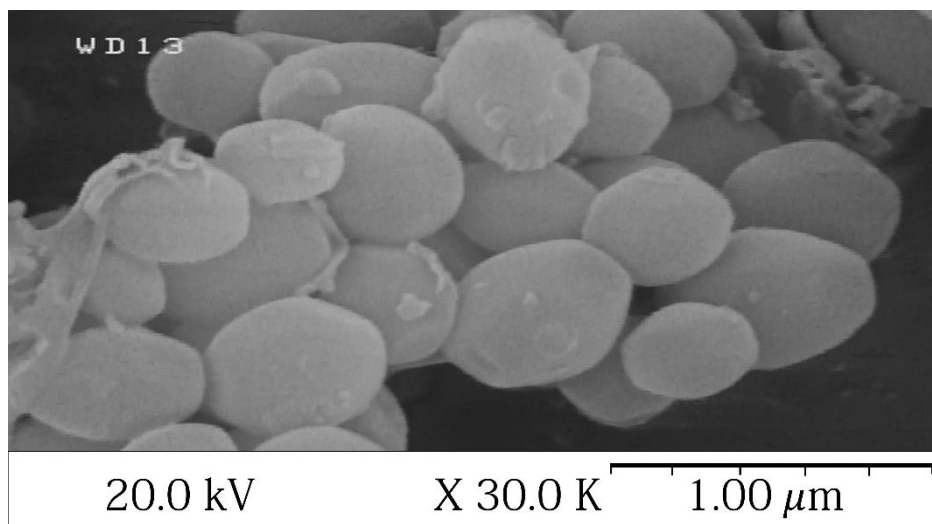
مشاهده شده در زیر 1400 cm^{-1} به ارتعاش شبکه Si-MCM-41 مربوط است که تقریباً برای هر چهار نمونه مزوپور سیلیکاتی یکسان است. برای MCM-41 کلسینه شده (۳-ج)، باندهای 3440 cm^{-1} و 1635 cm^{-1} نشان دهنده حالت های کششی و خمسی مولکول های آب جذب شده می باشند. باندهای 1224 cm^{-1} و 1085 cm^{-1} بیان گر $\delta(\text{Si}-\text{O}-\text{Si})$ باند $v_{as}(\text{Si}-\text{O}-\text{Si})$ نشان دهنده $\delta(\text{Si}-\text{O}-\text{Si})$ و باند $v_s(\text{Si}-\text{O}-\text{Si})$ نشان دهنده $\delta(\text{Si}-\text{O}-\text{Si})$ است. همان گونه که در طیف نمونه کلسینه شده مشخص است، پس از کلسیناسیون، باندهای مربوط به قالب آلی (ماده فعال سطحی) و سایر ترکیب های آلی که در نمونه کلسینه نشده در اعداد موجی 2924 cm^{-1} ، 2853 cm^{-1} و 1479 cm^{-1} نشان دهنده (Khalil et al. 2007). برای عامل دار نمودن سطح MCM-41 به وسیله نمک فلزی ZnCl_2 ، این نمک با گروه های سیلانول و مولکول های آب جذب شده روی سطح MCM-41 وارد اندرکنش شده و با تشکیل اسید لوئیس ضعیف $\text{Cl}-\text{O}-\text{Zn}-\text{Cl}$ - به مزوپور سیلیکاتی متصل می گردد. باندهای 1650 cm^{-1} ، 1600 cm^{-1} و 1620 cm^{-1} ، مکان هایی هستند که می توانند ثبت ذره های ZnCl_2 روی دیواره حفرات MCM-41 را تأیید نمایند. طیف مربوط به $\text{ZnCl}_2\text{-MCM-41}$ (شکل ۳-د) نشان می دهد که باندهای 3440 cm^{-1} و 1635 cm^{-1} کمی جابجا شده و به سمت اعداد موجی کوچکتر، یعنی 3436 cm^{-1} و 1631 cm^{-1} منتقل شده اند که شاید دلیل آن افزوده شدن Zn^{2+} به شبکه ساختاری MCM-41 باشد. شدت باند 1085 cm^{-1} پس از عامل دار نمودن کمی افزایش یافته که علت آن می تواند تغییر ساختار گروه های سیلانول سطحی ناشی از حضور اجزاء ZnCl_2 روی سطح MCM-41 و/یا تشکیل باند ارتعاشی جدید $\text{O}-\text{Zn}-\text{Cl}$ - باشد (Beck et al. 1992). پس از آن جام فرآیند جذب سطحی نیز از جاذب مورداستفاده طیف FT-IR گرفته شد. همان گونه که در شکل (۳-و) مشخص است، شدت باندهای مربوط به گروه های سیلانول افزایش یافته که مبین ایجاد پیوند جدیدی روی سطح جاذب بوده و جذب $\text{Ni}(\text{II})$ به وسیله جاذب MCM-41 را تأیید می نماید.



شکل ۳- طیف IR-FT نمونه های: (الف) MCM-41 کلسینه نشده؛ (ب) ZnCl_2 - MCM-41 خالص؛ (ج) ZnCl_2 - MCM-41 کلسینه شده؛ (د) Ni-ZnCl_2 -MCM-41

۳-۱-۴- آزمون میکروسکوپ الکترونی رویشی (SEM)

تصاویر SEM به منظور نشان دادن ساختار و مورفولوژی ذرات میان حفره (مزوپروس) به کار گرفته می‌شود. در شکل (۴) تصویر SEM جاذب $\text{ZnCl}_2\text{-MCM-41}$ نشان داده شده است. همان‌گونه که مشخص است ذرات جاذب کاملاً کروی بوده و به صورت تخم مرغی شکل می‌باشند. همچنین در تصویر ارایه شده هیچ چسبندگی و انباستگی بین ذرات مشاهده نمی‌شود.

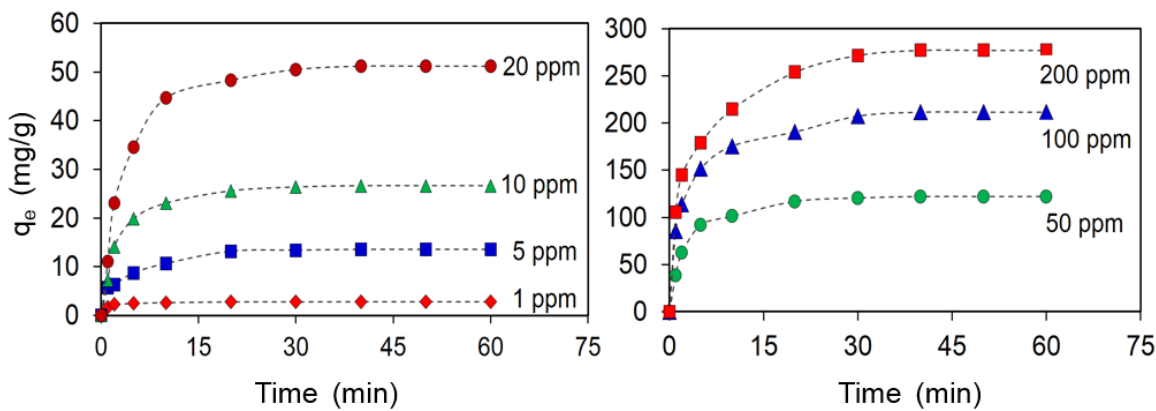


شکل ۴- تصویر SEM از جاذب $\text{ZnCl}_2\text{-MCM-41}$

۲-۲- جذب نیکل (II) به وسیله جاذب

۱-۲-۳- اثر زمان تماس و غلظت اولیه یون نیکل (II)

در شکل (۵) اثر زمان تماس روى ميزان حذف یون نیکل از محلول آبی در محدوده غلظت اولیه یون نیکل (II) بين ۱-۲۰۰ ppm نشان داده شده است. همان‌گونه که نتایج نشان می‌دهند، با افزایش زمان تماس بین یون‌های نیکل و مکان‌های فعال جاذب، ظرفیت جذب افزایش یافته تا این که پس از گذشت تقریباً ۴۰ min از آغاز فرآیند به حالت تعادل رسیده است. پس از رسیدن به زمان تعادل، ظرفیت جذب ثابت بوده و تغییری در آن مشاهده نگردیده است. همان‌گونه که مشخص است، در همان پنج دقیقه ابتدایی واکنش، بیشترین میزان جذب انجام شده است. نتایج نشان داده که زمان تعادل مستقل از غلظت اولیه یون نیکل است و برای تمام نمونه‌ها (با غلظت‌های اولیه متفاوت یون نیکل) زمان تعادل تقریباً برابر با ۴۰ min به دست آمده است. علت کاهش نرخ جذب با گذشت زمان این است که در ابتدای واکنش، مکان‌های فعال جذب موجود روی جاذب $\text{ZnCl}_2\text{-MCM-41}$ غیراشباع بوده و بهممض تماس با یون‌های نیکل، آن‌ها را جذب می‌کنند. با گذشت زمان تعداد مکان‌های جذب غیراشباع کم شده و نرخ جذب کاهش می‌یابد. علاوه بر این، در شروع واکنش گرادیان غلظت که نیرو محركه فرآیند جذب است، بسیار زیاد بوده و با گذشت زمان کاهش می‌یابد که این کاهش گرادیان غلظت منجر به کم شدن نرخ جذب گردیده است. با افزایش غلظت اولیه یون نیکل (II) در محلول، میزان جذب (ظرفیت جذب) افزایش یافته است. علت افزایش ظرفیت جذب این است که با وجود ثابت بودن تعداد مکان‌های فعال (مقدار جاذب در محلول) هر چه غلظت اولیه زیادتر گردیده، گرادیان غلظت بیشتر شده و یون‌های بیشتری جذب شده است.



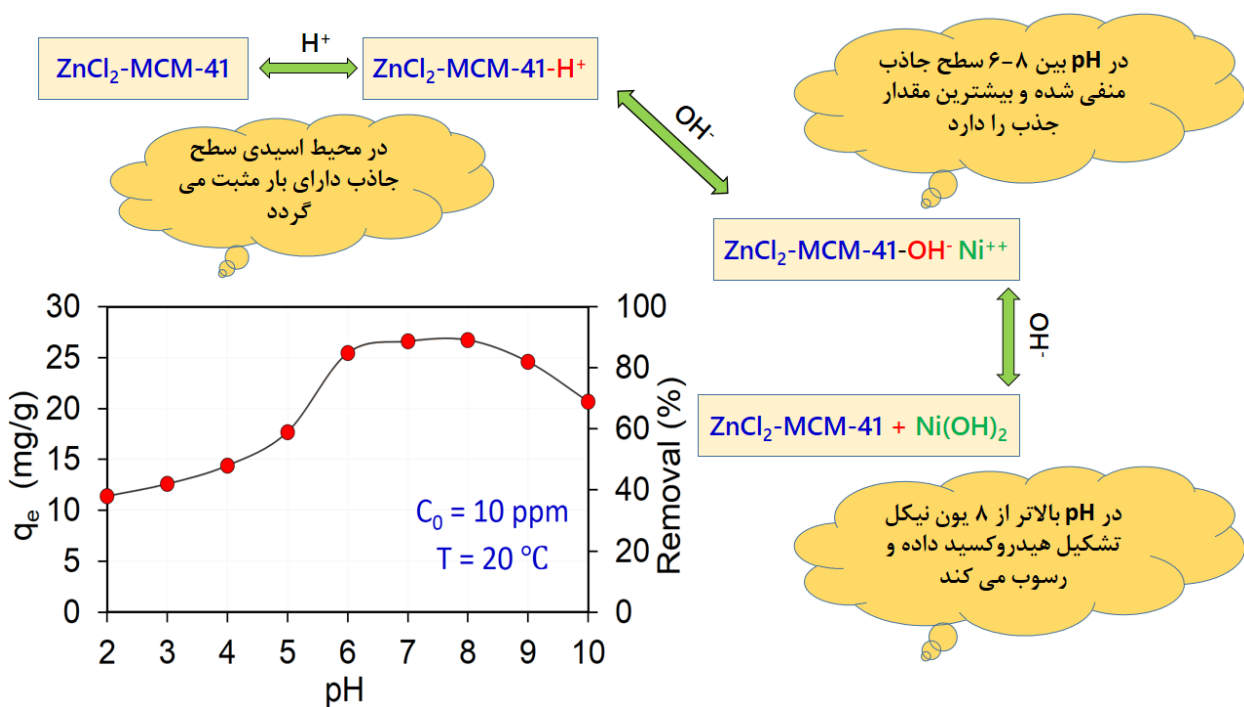
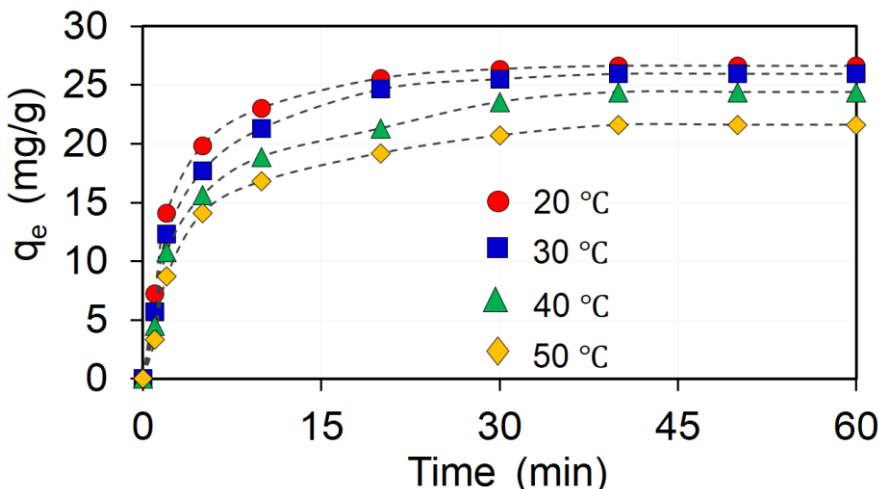
شکل ۵- اثر زمان تماس و غلظت اولیه یون نیکل (II) روی میزان جذب یون نیکل بهوسیله جاذب 10 mg $\text{ZnCl}_2\text{-MCM-41}$ جاذب، 30 ml محلول نیکل (II)، دمای 20°C و pH محلول ها.^۷

۲-۲-۳- اثر pH محلول بر میزان جذب یون نیکل

در شکل (۶) اثر pH محلول بر میزان جذب یون نیکل از محلول آبی نشان داده شده است. در pH بالاتر از هشت یون نیکل (II) با یون های هیدروکسید موجود در محلول تشکیل نمک Ni(OH)_2 داده و رسوب می کند(Uğurlu et al. 2009). نتایج نشان داده که با افزایش pH محلول، میزان جذب یون نیکل بهوسیله جاذب $\text{ZnCl}_2\text{-MCM-41}$ افزایش یافته است. همچنین تغییرات میزان جذب در ناحیه قلیایی ($\text{pH} > 7$) در مقایسه با ناحیه اسیدی بسیار کمتر بوده است. بیشترین افزایش ظرفیت جذب در محدوده pH بین $6\text{--}8$ مشاهده شده است. در pH های کم (ناحیه اسیدی) غلظت یون H^+ در محلول زیاد بوده که باعث ایجاد رقابت شدید بین این پروتون ها و کاتیون های نیکل (مانند Ni^{++} , NiOH^+ و غیره) بر سر اشغال مکان های فعال جذب صورت گیرد. با افزایش pH ، غلظت پروتون ها کاهش یافته درنتیجه رقابت کمتر شده و یون های نیکل بیشتری جذب جاذب شده اند. همچنین در pH های پایین پروتون ها سطح جاذب را اشغال نموده (اثر پروتونه شدن) و چون بار الکتریکی آن ها مثبت است باعث ایجاد دافعه الکترواستاتیکی شده و مانع از جذب کاتیون های نیکل روی سطح جاذب شده اند. در pH های زیاد (ناحیه بازی) غلظت یون OH^- زیاد بوده و اثر منفی زیادی روی جذب نداشته است (Lohani et al. 2008; Anirudhan et al. 2008) در pH بالاتر از هشت یون نیکل (I) با یون های هیدروکسید موجود در محلول تشکیل نمک Ni(OH)_2 داده و رسوب می کند و نهایتاً منجر به کاهش میزان جذب یون نیکل بهوسیله جاذب می گردد (Uğurlu et al. 2009).

۳-۲-۳- اثر دمای محلول بر میزان جذب یون نیکل

در شکل (۷) اثر پارامتر دما روی جذب یون نیکل از محلول آبی نشان داده شده است. همان گونه که مشاهده می شود، با افزایش دما، میزان جذب یون نیکل بهوسیله جاذب $\text{ZnCl}_2\text{-MCM-41}$ کاهش یافته است. همچنین واضح است که دما روی زمان تعادل تأثیر چندانی نداشته است. با افزایش دما، تمایل یون های نیکل برای فرار از سطح جاذب بیشتر شده و باعث کاهش میزان جذب شده است. بنابراین فرایند فرایند جذب یون نیکل (II) بهوسیله جاذب $\text{ZnCl}_2\text{-MCM-41}$ فرایندی گرمایزا بوده و دمای 20°C دمای بهینه برای انجام آزمایش ها است.

شکل ۶-اثر pH محلول بر میزان جذب یون نیکل بهوسیله جاذب ZnCl₂-MCM-41.شکل ۷-اثر دمای محلول بر میزان جذب یون نیکل بهوسیله جاذب ZnCl₂-MCM-41 ۳۰ ml ZnCl₂-MCM-41 ۱۰ ppm یون نیکل در pH ثابت ۷ (جاذب ۱۰ mg).

۳-۳-سینتیک فرایند جذب

برای بررسی سینتیک فرایند جذب یون نیکل (II) بهوسیله جاذب ZnCl₂-MCM-41 از دو مدل شبه مرتبه اول و شبه مرتبه دوم استفاده شد. داده‌های سینتیکی معادله‌ی شبه مرتبه اول بر اساس معادله (۴) و ثابت سینتیکی واکنش (k_{P_1}) زیب نمودار و ظرفیت جذب (q_e) از عرض از مبدأ نمودار حاصل محاسبه می‌گردند.

$$\ln(q_e - q_t) = \ln(q_e) - k_{P_1} t \quad (4)$$

که q_t و q_e به ترتیب ظرفیت‌های جذب در حالت تعادل و زمان t بوده (mg/g) ثابت سینتیکی معادله سرعت شبه مرتبه اول (min) است. معادله سرعت شبه مرتبه دوم بر اساس رابطه (۵) بیان می‌گردد که از رسم نمودار $\frac{t}{q_t}$ بر حسب t می‌توان مقادرهای q_e و k_{P_2} را محاسبه نمود.

$$\frac{t}{q_t} = \frac{1}{k_{P_2} q_e^2} + \frac{t}{q_e} \quad (5)$$

که k_{P_2} ثابت سینتیکی معادله سرعت شبه مرتبه دوم ($\text{gmg}^{-1}\text{min}^{-1}$) است.

نتایج حاصل از معادلات سرعت شبه مرتبه اول و شبه مرتبه دوم برای داده‌های تجربی جذب یون نیکل (II) به وسیله جاذب $\text{ZnCl}_2\text{-MCM-41}$ در جدول (۲) ارایه شده است. با توجه به نتایج جدول (۲)، ضریب همبستگی مدل سینتیکی شبه مرتبه دوم برای فرآیند جذب یون نیکل (II) از مدل شبه مرتبه اول بیشتر بوده است. همچنین، مقدار ظرفیت جذب (q_e) پیش‌بینی شده توسط مدل شبه مرتبه دوم بسیار نزدیک به مقدار تجربی ظرفیت جذب است در حالی که برای مدل شبه مرتبه اول تفاوت این دو مقدار بسیار زیاد است؛ بنابراین، مدل سینتیکی شبه مرتبه دوم فرآیند جذب یون نیکل به وسیله جاذب $\text{ZnCl}_2\text{-MCM-41}$ را به خوبی پیش‌بینی می‌نماید.

جدول ۲- پارامترهای معادله شبه مرتبه اول و شبه مرتبه دوم برای حذف یون نیکل (II) از محلول آبی توسط جاذب- $\text{ZnCl}_2\text{-MCM-41}$ در $10\text{ mg}/10\text{ ml}$ جاذب، 30 ppm محلول 10 ppm pH 20°C ، دما 7°C .

R^2	پارامترهای مدل	مدل سینتیکی
مقدار q_e تجربی	مقدار q_e	
۰/۹۸۲۹	$k_{P_1} = 0/061$ $q_e = 3/568$	شبه مرتبه اول
۰/۹۹۸۴	$k_{P_2} = 0/014$ $q_e = 28/409$	شبه مرتبه دوم

۴-۴- ایزو ترم‌های جذب

در شکل (۸-الف) ایزو ترم جذب داده‌های تجربی نشان داده شده است. از این نمودار مشاهده می‌شود که با افزایش غلظت اولیه در محدوده $1\text{-}200\text{ ppm}$ میزان جذب یون نیکل (II) نیز افزایش یافته است. این داده‌ها به وسیله دو مدل ریاضی لانگمویر و فروندلیچ بررسی شده‌اند.

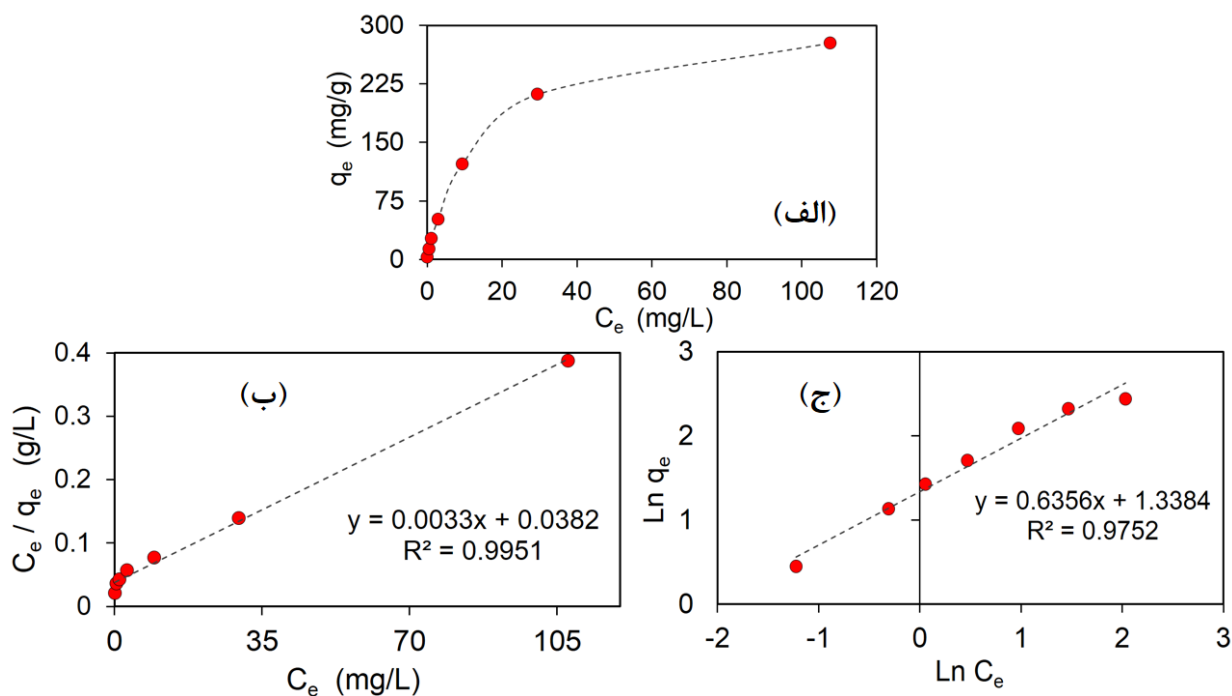
فرم خطی معادله لانگمویر در رابطه (۶) بیان شده است. در این رابطه، q_m بیشترین ظرفیت جذب جاذب و b ثابت جذب لانگمویر است.

$$\frac{c_e}{q_e} = \frac{1}{bq_m} + \frac{c_e}{q_m} \quad (6)$$

رابطه (۷) نشان‌دهنده فرم خطی ایزو ترم فروندلیچ بوده که در آن n و K_F ثابت‌های فروندلیچ هستند و به ترتیب مربوط به شدت جذب و ظرفیت جذب می‌باشند.

$$\ln q_e = \ln K_F + \frac{1}{n} \ln C \quad (7)$$

پارامترهای معادلات لانگمویر و فروندلیچ برای جذب یون نیکل (II) در pH ۷ هفت در جدول (۳) ارایه شده است. ضریب همبستگی بین داده‌های تجربی و ایزو ترم می‌جذب، برای ایزو ترم لانگمویر از ایزو ترم فروندلیچ بیشتر بوده و نشان می‌دهد که این ایزو ترم فرآیند جذب یون نیکل (II) روی جاذب $\text{ZnCl}_2\text{-MCM-41}$ را بهتر پیش‌بینی می‌کند.



شکل ۸-الف) ایزوترم جذب داده‌های تجربی؛ ب) ایزوترم جذب لانگمویر و ج) ایزوترم جذب فروندلیج

با توجه به ایزوترم جذب لانگمویر در شرایط بهینه، بیشترین ظرفیت جذب یون نیکل (II) بهوسیله جاذب 30.3 mg/g بهدست آمده است. نمودارهای مربوط به ایزو ترم‌های لانگمویر و فروندلیج به ترتیب در شکل‌های (۸-ب و ج) نشان داده شده است.

جدول ۳-پارامترهای مدل‌های لانگمویر و فروندلیج برای جذب یون نیکل (II) بهوسیله جاذب ZnCl₂-MCM-41

مدل لانگمویر			مدل فروندلیج		
q_m	b	R^2	K_F	$1/n$	R^2
۳۰.۳	۰/۰۸۷	۰/۹۹۵۱	۳/۸۱	۰/۶۳	۰/۹۷۵۲

علاوه بر ایزوترم‌های جذب لانگمویر و فروندلیج از ایزوترم دوبینین-رادوشکوویچ برای تعیین ماهیت فرآیند از لحاظ فیزیکی یا شیمیایی بودن جذب اسفاده می‌شود. فرم خطی معادله ایزوترم دوبینین-رادوشکوویچ به صورت معادله (۸) نوشته می‌شود (Dubinin et al. 1947):

$$\ln q_e = \ln q_m - \beta \varepsilon^2 \quad (8)$$

که q_e مقدار یون نیکل جذب شده روی جاذب در حالت تعادل (mol/g) و q_m (mol/g) بیشترین ظرفیت جذب (mol/g) ضریب فعالیت وابسته به انرژی متوسط جذب (mol^2/J^2) و پتانسیل Polanyi (mol^2/J^2) است که به صورت معادله (۹) تعریف می‌گردد:

$$\varepsilon = RT \ln \left(1 + \frac{1}{C_e} \right) \quad (9)$$

پارامترهای مدل دوبینین-رادوشکوویچ در جدول (۴) ارائه شده است. با محاسبه β ، می‌توان انرژی آزاد را از معادله (۱۰) محاسبه نمود:

$$E = \frac{1}{\sqrt{-2\beta}} \quad (10)$$

انرژی آزاد E اطلاعاتی در مورد فیزیکی یا شیمیایی بودن فرآیند جذب در اختیار ما قرار می‌دهد. اگر مقدار E , بین هشت و 16kJ/mol به دست آید، جذب به صورت شیمیایی بوده و اگر کمتر از 8 kJ/mol به دست آید، جذب به صورت فیزیکی بوده است (Kiran et al. 2006). برای فرآیند جذب یون نیکل (II) از محلول آبی بهوسیله جاذب- ZnCl_2 -MCM-41 مقدار انرژی متوسط جذب برابر با $9/8\text{mol/kJ}$ بددستآمده که چون این مقدار بین $8-16\text{kJ/mol}$ است، پس این فرآیند با مکانیزم جذب شیمیایی انجام پذیرفته است.

جدول ۴- پارامترهای مدل D-R

پارامترهای مدل D-R	مقدار پارامترها	R^2
$\ln q_m$	-۴/۷۱	
β	-6×10^{-9}	۰/۹۹۲۵
E	۹/۸	

۳-۵- مقایسه نتایج این پژوهش با سایر مطالعات مشابه

به منظور درک بهتر از عملکرد و کار آبی جاذب ZnCl_2 -MCM-41 در حذف از محلول‌های آبی، نتایج حاصل از پژوهش حاضر با برخی از مطالعات مشابه مقایسه گردید. نتایج حاصل از هر یک از مطالعات در جدول (۵) ارائه شده است. هم آن‌گونه که مشخص است ماکریم ظرفیت جذب یون نیکل (II) بهوسیله جاذب ZnCl_2 -MCM-41 از سایر جاذب‌های استفاده شده در مطالعات دیگر بسیار بیشتر است. نکته مهم دیگر آنکه زمان تعادل بددستآمده در مطالعه حاضر در مقایسه با مطالعات ارائه شده در جدول (۵) به غیراز مطالعه بسیار کمتر است (Ghasemi et al. 2015).

۴- نتیجه‌گیری

سنتر ZnCl_2 -MCM-41 به روش غیرمستقیم و در حضور حلال تولوئن خالص تحت شرایط هیدروترمال انجام پذیرفت. الگوی XRD ساختار تقریباً متقارن و شش‌وجهی این ماده معدنی را تأیید نمود. آنالیز FT-IR نیز تثبیت ذره‌های ZnCl_2 روی سطح MCM-41 و تشکیل اسید لوئیس جدید- $\text{O}-\text{Zn}-\text{Cl}$ - O را تأیید نمود. pH محلول شدیداً بر فرآیند جذب تأثیر گذاشت، به طوری که در محدوده pH اسیدی میزان جذب کم بوده و در محدوده pH بازی میزان جذب افزایش یافت تا این‌که در pH بین ۶-۸ به بیشترین میزان جذب رسید. با افزایش دما، میزان جذب کاهش یافت که این امر نشان‌دهنده گرمایزا بودن فرآیند جذب یون نیکل (II) بهوسیله جاذب ZnCl_2 -MCM-41 بود. با افزایش غلظت اولیه یون نیکل (II) در محلول میزان جذب افزایش یافت که علت آن افزایش گرadiان غلظت بوده است. معادله سرعت شبه مرتبه دوم سینتیک فرآیند را به خوبی پیش‌بینی نمود. در بین ایزو ترم‌های جذب، ایزوترم جذب لانگ‌موبرداری ضریب همبستگی بالاتری با داده‌های تجربی بود که مؤید جذب همگن و تک لایه یون‌های نیکل (II) روی جاذب ZnCl_2 -MCM-41 بود.

جدول ۵- مقایسه زمان تعادل به دست آمده در مطالعه حاضر با سایر مطالعات

مرجع	q_m (mg/g)	زمان تعادل (min)	C_0 محدوده یون نیکل (mg/L) (II)	دما بهینه (°C)	pH بهینه	جادب
[۳۳]	۱۴۰/۸	۴-۲۰	۵۰-۵۰۰	۵۰	۶-۸	کربن فعال شده با تترا اتیلن پنتا آمین
[۳۴]	۶۴/۹	۶۰۰۰	۱۰۰-۵۰۰	۲۵	۶	کربن فعال شده با نیتریک اسید و هیدروژن پروکسید
[۳۵]	۶۸/۷	۱۲۰	۲۵	۶۵	۹	نانوکامپوزیت مغناطیسی Fe_3O_4
[۳۶]	۱۲/۴	۱۲۰	۱۰-۷۰	۲۵	۳/۵	مزوبور سیلیکاتی اصلاح شده با آمین
[۳۷]	۷/۶	۲۴۰	۱۷۵-۳۰۰	۲۵	-۵/۵	N-SBA-15 اصلاح شده با Propylsalicylaldimino
[۳۸]	۹/۸	۱۸۰	۲-۲۰	۶۵	۸	نانولوله‌های کربنی اکسید شده
[۳۹]	۴۸	۲۰۰	۶۰	۶۵	۸	رزین آمبرلیت IR-120
این مطالعه	۳۰۳	۴۰	۱-۲۰۰	۲۰	۸	$\text{ZnCl}_2\text{-MCM-41}$

References

- Al-Rub F. A., El-Naas M., Benyahia F. and Ashour I. (2004). Biosorption of nickel on blank alginate beads, free and immobilized algal cells. *Process Biochem.*, 39(17), 1767-1773.
- Anirudhan T., Divya L. and Ramachandran M. (2008). Mercury (II) removal from aqueous solutions and wastewaters using a novel cation exchanger derived from coconut coir pith and its recovery. *J. Hazard. Mater.*, 157(3), 620-627.
- Basso M., Cerrella E. and Cukierman A. (2002). Activated carbons developed from a rapidly renewable biosource for removal of cadmium (II) and nickel (II) ions from dilute aqueous solutions. *Indust. Eng. Chem. Res.*, 41(5), 180-189.
- Bailey S. E., Olin T. J., Bricka R. M. and Adrian D. D. (1999). A review of potentially low-cost sorbents for heavy metals. *Wat. Res.*, 33(3), 2469-2479.
- Beck J., Vartuli J., Roth W., Leonowicz M., Kresge C., Schmitt K., Chu C., Olson D. H. and Sheppard E. (1992). A new family of mesoporous molecular sieves prepared with liquid crystal templates. *J. Am. Chem. Society*, 114(9), 10834-10843.
- Dubinin M. M., Zaverina E. and Radushkevich L. (1947). Sorption and structure of active carbons. I. Adsorption of organic vapors. *Zhurnal Fizicheskoi Khimii*, 21(3), 151-162
- Delacôte C., Gaslain F. O., Lebeau B. and Walcarus A. (2009). Factors affecting the reactivity of thiol-functionalized mesoporous silica adsorbents toward mercury (II). *Talanta*, 79(5) 877-886.
- Grün M., Lauer I. and Unger K. K. (1997). The synthesis of micrometer-and submicrometer-size spheres of ordered mesoporous oxide MCM-41. *Adv. Mater.*, 9(2), 254-257.
- Ghasemi M., Khosroshahy M. Z., Abbasabadi A. B., Ghasemi N., Javadian H. and Fattahi M. (2015). Microwave-assisted functionalization of Rosa Canina-L fruits activated carbon with tetraethylenepentamine and its adsorption behavior toward Ni (II) in aqueous solution: Kinetic, equilibrium and thermodynamic studies. *Powder Technol.*, 274(12), 362-371.

- Hakami O., Zhang Y. and Banks C. J. (2012). Thiol-functionalised mesoporous silica-coated magnetite nanoparticles for high efficiency removal and recovery of Hg from water. *Wat. Res.*, 46(4), 3913-3922.
- Hasar H. (2003). Adsorption of nickel (II) from aqueous solution onto activated carbon prepared from almond husk. *J. Hazard. Mater.*, 97(8), 49-57.
- Idris S. A., Harvey S. R. and Gibson L. T. (2011). Selective extraction of mercury (II) from water samples using mercapto functionalised-MCM-41 and regeneration of the sorbent using microwave digestion. *J. Hazard. Mater.*, 9(2), 171-176.
- Kadirvelu M., Kanmani N., Senthilkumar A. and Subburam J. (2004). Separation of mercury (II) from aqueous solution by adsorption onto an activated carbon prepared from Eichhornia crassipes. *Adsorp. Sci. Technol.*, 22(5), 207-222.
- Kiran I., Akar T., Ozcan A. S., Ozcan A. and Tunali S. (2006). Biosorption kinetics and isotherm studies of Acid Red 57 by dried Cephalosporium aphidicola cells from aqueous solutions. *Biochem. Eng. J.*, 31(3), 197-203.
- Khalil K. M. S. (2007). Cerium modified MCM-41 nanocomposite materials via a nonhydrothermal direct method at room temperature. *J. Colloid Interface Sci.*, 315(5), 562-568.
- Kula I., Uğurlu M., Karaoğlu H. and Celik A. (2008). Adsorption of Cd (II) ions from aqueous solutions using activated carbon prepared from olive stone by ZnCl₂ activation. *Bioresour. Technol.*, 99(4), 492-501.
- Lohani M. B., Singh A., Rupainwar D. and Dhar D. (2008). Studies on efficiency of guava (*Psidium guajava*) bark as bioadsorbent for removal of Hg (II) from aqueous solutions. *J. Hazard. Mater.*, 159(5), 626-629.
- Liu J., Yin D., Qin L. and Yin D. (2005). New catalysts for diels-alder reaction of myrcene and acrolein prepared by solid-state interaction, of MCM-41 silica and ZnCl₂. *Studies Surf. Sci. Catal.*, 156(3), 815-822.
- Maibach H. I. and Menné T. (1989). Nickel and the Skin: Immunology and Toxicology. CRC Press. 101(2), 20-35.
- Pereira L. S., Cordery I. and Iacovides I. (2009). Coping with water scarcity: Addressing the challenges. Springer Science and Business Media.
- Pérez-Quintanilla D., Sánchez A., del Hierro I., Fajardo M. and Sierra I. (2007). Preparation, characterization, and Zn²⁺ adsorption behavior of chemically modified MCM-41 with 5-mercaptop-1-methyltetrazole. *J. Colloid a Interface Sci.*, 313(3), 551-562.
- Pérez-Quintanilla D., Del Hierro I., Fajardo M. and Sierra I. (2006). 2-Mercaptothiazoline modified mesoporous silica for mercury removal from aqueous media. *J. Hazard. Mater.*, 134(3), 245-256.
- Puanngam M. and Unob F. (2008). Preparation and use of chemically modified MCM-41 and silica gel as selective adsorbents for Hg (II) ions. *J. Hazard. Mater.*, 154(5), 578-587.
- Ravikovich P. I., Haller G. L. and Neimark A. V. (1998). Density functional theory model for calculating pore size distributions: pore structure of nanoporous catalysts., *Adv. Colloid Interface Sci.*, 76(6), 203-226.
- Raji F. and Pakizeh M. (2013). Study of Hg (II) species removal from aqueous solution using hybrid ZnCl₂-MCM-41 adsorbent. *Appl. Surf. Sci.*, 282(8), 415-424.
- Selvam P., Bhatia S. K. and Sonwane C. G. (2001). Recent advances in processing and characterization of periodic mesoporous MCM-41 silicate molecular sieves. *Indust. Eng. Chem. Res.*, 40(3), 3237-3261.

- Uğurlu M., Kula I., Karaoğlu M. H. and Arslan Y. (2009). Removal of Ni (II) ions from aqueous solutions using activated-carbon prepared from olive stone by ZnCl₂ activation. Environ. Progress Sustain. Energy, 28(4), 547-557.
- Viraraghavan T. and de Maria F. (1998). Alfaro, Adsorption of phenol from wastewater by peat, fly ash and bentonite. J. Hazard Mater, 57(7), 59-70.
- Wu C., Kong Y., Gao F., Wu Y., Lu Y., Wang J. and Dong L. (2008). Synthesis, characterization and catalytic performance for phenol hydroxylation of Fe-MCM41 with high iron content. Microporous and Mesoporous Mater., 113(9), 163-170.
- Zhai D., Zhang K., Zhang Y., Sun H. and Fan G. (2012). Mesoporous silica equipped with europium-based chemosensor for mercury ion detection: synthesis, characterization, and sensing performance. Inorganica Chimica Acta, 387(6), 396-400.
- Raji F., Saraeian A., Pakizeh M. and Attarzadeh F. (2015). Removal of Pb (ii) from aqueous solution by mesoporous silica MCM-41 modified by ZnCl₂: kinetics, thermodynamics, and isotherms. RSC Adv., 5(1), 37066-37077.

Ni(II) Removal from Aqueous Solutions using Nanostructured Sorbent MCM-41 Modified by ZnCl₂

Foad Raji^{1*} and Asma Rahimi²

¹ Department of Chemistry Engineering, Faculty of Technology, Mashhad University, Mashhad, Iran

² Department of Chemistry Engineering, Faculty of Technology, University of Kurdistan, Sanandaj, Iran

*Corresponding Author: Foad.raji@gmail.com

Received: June 14, 2015

Accepted: September 7, 2015

Abstract:

In this study, MCM-41 was prepared via hydrothermal method in presence of ethanol as a co-solvent and co-surfactant in alkaline media. Inorganic sorbent ZnCl₂-MCM-41 was synthesized via covalent grafting method by dispersion of samples into pure toluene for solid state interaction between silanol groups of MCM-41 surface and ZnCl₂ particles. Samples were characterized by nitrogen adsorption analysis, XRD, BET surface area, and FTIR spectrometry. MCM-41 BET surface area measured was 1099 m²/g, which was later reduced to 602 m²/g after incorporation of ZnCl₂ particles onto MCM-41 surface. Effect of different experimental conditions such as solution temperature, pH, contact time, and initial concentration of Ni (II) ions were investigated on the amount of nickel adsorption. For experimental data, the Langmuir isotherm showed a better fit than Freundlich isotherm, which indicates that nickel adsorption onto inorganic sorbent was homogeneous and monolayer. At optimum conditions, maximum adsorption capacity of Ni (II) by sorbent obtained was 303 mg/g according to Langmuir isotherm. Pseudo-second order model predicted kinetic of nickel adsorption onto synthesized sorbent better than other models. Free energy was 9.8 kJ/mol determined by Dubinin-Radushkevich model, which confirms chemical nature of nickel adsorption onto synthesized sorbent.

Keywords: MCM-41, Adsorption, ZnCl₂, Ni (II) ion.